

УДК 553.48+553.491+553.062:(571.54)

ПАЛЛАДИЕВО-ПЛАТИНОВАЯ МИНЕРАЛИЗАЦИЯ В ЖИЛЬНЫХ Cu-Ni-РУДАХ ЙОКО-ДОВЫРЕНСКОГО РАССЛОЕННОГО МАССИВА

© 2003 г. Н. С. Рудашевский, Ю. Л. Крецер, Д. А. Орсоев, Е. В. Кислов

Представлено академиком Д.В. Рундквистом 29.11.2002 г.

Поступило 14.01.2003 г.

Йоко-Довыренский дунит-троктолит-габброродиевый интрузив – крупный расслоенный массив на юге Сибири (Северное Прибайкалье). В начале 60-х годов в нем были открыты богатые Cu–Ni-руды. В этих рудах установлены повышенные содержания элементов платиновой группы (ЭПГ) [1–3 и др.]. Позже в Йоко-Довыренском массиве выявлен также платиноносный горизонт руд малосульфидного типа [3–6]. Минералы платиновой группы (МПГ) в породах Йоко-Довыренского массива – тетраферроплатина, туламинит, рустенбургит, звягинцевит, масленицковит и мончеллит – определены [5, 6] только в составе руд этого платиноносного горизонта. Кроме того, в шлихах, отмытых из отвалов шурфа, вскрывшего массивные Cu–Ni-руды, был обнаружен сперрилит [7]. В настоящей работе изучена платиноносность и дана первая характеристика минералов концентраторов благородных металлов жильных Cu–Ni-руд Йоко-Довыренского массива.

Йоко-Довыренский дунит-троктолит-габброродиевый интрузив расположен в осевой части Олокитского рифтогенного прогиба и залегает согласно среди карбонатно-терригенных пород довыренской серии позднего рифея. Это крупное силлоподобное тело, вытянутое в северо-восточном направлении на 26 км при максимальной мощности 3,5 км. Массив находится в нарушенном, близком к вертикальному, залегании, благодаря чему на современном эрозионном срезе обнажена, по-видимому, краевая часть plutона, о чем свидетельствует крутое падение ультраосновных пород на северо-запад, а расслоенной серии и габброидных пород на юго-восток. Абсолютный возраст массива определен в интервале 700 ± 35 млн. лет (Sm–Nd-метод) [8] – 740 ± 55 млн. лет (Rb–Sr-изотопный метод) [9].

Закрытое акционерное общество
Региональный аналитический центр
“Механобр-Аналит”
Геологический институт
Сибирского отделения
Российской Академии наук, Улан-Удэ

Средневзвешенный состав интрузива близок к коматитовому. Большинство пород массива характеризуется парагенезисом: оливин (Ol) + плагиоклаз (Pl) + клинопироксен (Cpx) ± ортопироксен (Opx) ± хромшпинель. По закономерной смене кумулусных и интеркумулусных ассоциаций породообразующих минералов снизу вверх в обобщенном разрезе массива были выделены следующие зоны: А – краевая плагиоклазсодержащих перидотитов (перцолиты и верлиты), во вмещающей толще от них под острым углом отходят силлоподобные апофизы тех же перцолитов и верлитов; Б – ультрамафитовая зона, сложенная дунитами с горизонтами, содержащими ксенолиты магнезиальных скарнов и карбонатных пород, в нижней ее части присутствует слой плагиодунитов; В – расслоенная плагиодунит-троктолитовая серия, в нижней ее части широко распространены верлиты с жилами и гнездами диопсидитов; Г – умеренно расслоенная серия оливиновых габбро и габбро-норитов с участками ритмичного чередования троктолитов и оливиновых габбро. В прикровлевой и приподошвенной частях интрузива и во вмещающей толще отмечаются многочисленные силлы и жилы гранофировых габбро-норитов.

Характеристика Cu–Ni-сульфидных руд Йоко-Довыренского массива детально рассмотрена в [10, 11 и др.]. Cu–Ni-руды, вкрашенные и густовкрашенные, приурочены к плагиолерцолитам краевой зоны (А) массива и к их силлоподобным апофизам. Тела вкрашенных руд прослеживаются по простирианию до 1400–1700 м при ширине выхода их на поверхность 8–25 м. Жильные Cu–Ni-руды, брекчиеидной текстуры и еще более редкие массивные, обычно находятся внутри ареалов сульфидной вкрашенности и контролируются протомагматической трещиноватостью. Они развиты преимущественно на северо-восточном фланге массива.

Богатые Cu–Ni-руды сложены преимущественно на 40–95% псевдогексагональным пирротином (иногда в тонких срастаниях с троилитом), пентландитом и замещающим его виоларитом (7–25%), а также халькопиритом (0,1–6%). Встреча-

Таблица 1. Общая характеристика зерен, содержащих благородные металлы минералов в изученном “тяжелом” концентрате брекчииевидных Cu–Ni-руд

№ ан.	Минерал	Формула	Число зерен	Размеры зерен, мкм			Объемн. % минерала
				min	max	средний	
1	Сперрилит*	PtAs ₂	51	9	63	37	89.5
2	Геверсит	PtSb ₂	1	—	—	19	0.4
3	Садбериит*	(Pd, Ni)(Sb, Bi)	5	15	56	31	6.9
4	Мертиит II*	Pd ₈ Sb ₃	1	—	—	14	0.2
5	Неназванный	Pd ₂ Sb	1	—	—	48	2.7
6	Кюстелит (?)	(Ag, Au)	1	—	—	15	0.3
Сумма				60	—	—	100
7	Маухерит*	(Ni, Co, Fe) ₈ As ₁₁	33**	19	76	37	—

* Минералы обнаружены также в полированных шлифах.

** Размеры зерен маухерита определены по выборке 33 случайных зерен в “тяжелом” концентрате.

ются также кубанит, ильменит, магнетит, хромшпинелиды, пирит, реже титаномагнетит, кобальтовый маккинавит, сфалерит, галенит и маухерит [11].

В сульфидном цементе брекчииевидных руд присутствуют фрагменты серпентинитов (с реликтами оливина и клинопироксена) и обломки измененных габбро-норитов, в которых плагиоклаз в различной мере замещен эпидотом, пренитом и хлоритом, а моноклинный пироксен амфиболизирован и хлоритизирован.

Богатые Cu–Ni-руды относительно бедны ЭПГ, сумма их, как правило, редко превышает 1 г/т. Как и в большинстве Cu–Ni-месторождений мира, связанных с расслоенными интрузивами [12], среди ЭПГ доминирует палладий, доля его закономерно растет по мере насыщения пород сульфидами и максимальна в массивных рудах.

Для выявления минерализации благородных металлов жильных руд Йоко-Довыренского массива нами отобрана проба брекчииевидной руды массой 6 кг из канавы по ручью Школьный (участок “Озерный”). Ее химический состав следующий, мас. %: Ni 2.14; Cu 0.42; Co 0.104; S 19.80; Zn 0.029; Pb 0.011. В составе этой пробы атомно-абсорбционным и кинетическим методами (анализы выполнены в ЦНИГРИ) определены концентрации благородных металлов, г/т: Pt 0.112, Pd 0.725, Rh <0.02, Ru 0.027, Ir 0.018, Os 0.012, Au 0.44.

При изучении минералов-концентраторов благородных металлов использована технология гидросепарации “тяжелых” концентратов из пород, руд и технологических продуктов [13]. Дробление исходной руды проводилось на лабораторной вибрационной мельнице “Pulverizette-9”. Рабочая ступка ее имеет объем 100 мл, она легко идеально очищается. Химический состав материала ступки известен. Процесс дробления кратковременный (15–20 с) малыми порциями, так что в продукте дробления всегда сохраняются крупные

зерна материала исходной пробы, что предохраняет тонкие зерна акцессориев от переизмельчения. Тонкий класс от каждой порции продукта дробления отделялся ситованием на делителе фирмы “Retsch” (очистка сит в ультразвуковой камере). Применение гидросепаратора оригинальной конструкции HS-01 [14, 15] обеспечивает возможность получения из минералогических проб (использован продукт дробления крупностью <63 мкм исходной руды массой 320 г) тонких концентратов (массой 5–20 мг) “тяжелых” (с более высокой плотностью по отношению к породообразующим или рудообразующим минералам) акцессориев (обогащение до 10000 раз). Из “тяжелых” концентратов прессованием с пластмассой получены искусственные полированные шлифы, которые затем исследовались методами оптической (микроскоп “Axioplan”) и электронной микроскопии, а также микрозондового анализа (“Camscan-4DV”, “Link AN-10000”, “Microspec-4DV”). Данные об акцессорных минералах “тяжелых” концентратов сопоставлялись с результатами изучения полированных шлифов исходных руд.

В искусственных полированных шлифах “тяжелых” концентратов из брекчииевидных жильных Cu–Ni-руд Йоко-Довыренского массива определены 60 зерен минералов благородных металлов (табл. 1, см. рис. 1): обнаружены два Pt-минерала – сперрилит (см. рис. 1а–1в; табл. 2, ан. 1–3) и геверсит (см. рис. 1г; табл. 2, ан. 4); три Pd-минерала – садбериит (см. рис. 1д; табл. 2, ан. 5–9), мертиит II (см. рис. 1е, табл. 2, ан. 10) и неназванный минерал состава Pd₂Sb (см. рис. 1ж; табл. 2, ан. 11), а также один Au–Ag-минерал – кюстелит (?) (см. рис. 1к; табл. 2, ан. 12). Кроме того, выявлена рассеянная форма Pd – в составе маухерита, характерного минерала богатых Cu–Ni-руд (см. табл. 2, ан. 13). По результатам микрозондового анализа (“Microspec-4DV”, экспозиция 100 с, чувствительность 0.005 %) 6 зерен маухерита в полированном шлифе руды концентрация Pd

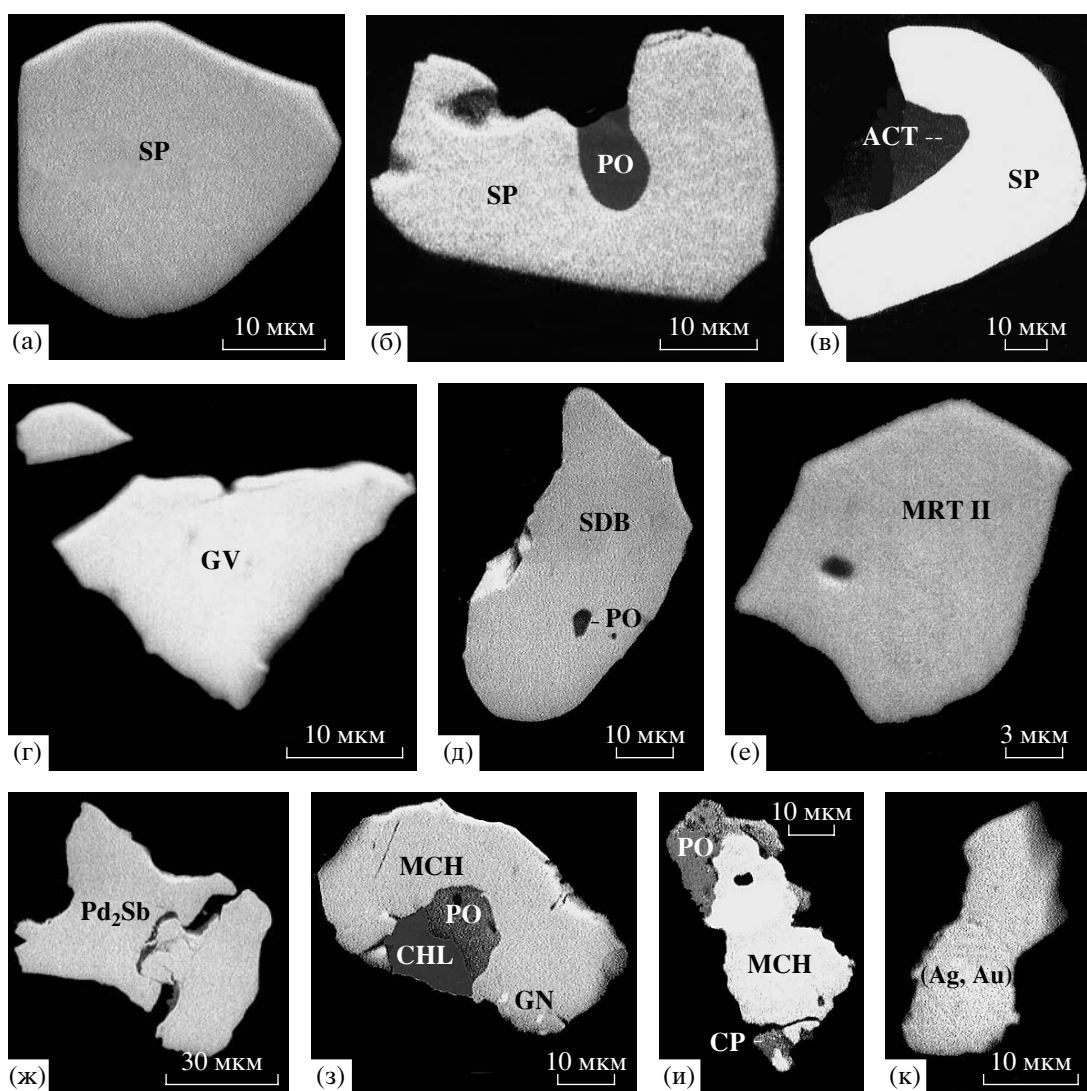


Рис. 1. Зерна содержащих элементы платиновой группы минералов “тяжелого” концентрата брекчииевидных Cu–Ni-руд (а–к). SP – сперрилит, GV – геверсит, MRT II – мертинит II, MCH – маухерит, PO – пирротин, CP – халькопирит, GN – галенит, ACT – актинолит, CHL – хлорит.

в этом минерале 0.08–0.19 мас. %, в среднем 1250 г/т. В составе других минералов изученных руд, в том числе в пентландите и виоларите, Pd микрозондовым анализом не обнаружен.

Непосредственно в полированных шлифах изученных руд встречены только 5 очень мелких (<5 мкм) зерен минералов платиновой группы – 2 зерна сперрилита, 2 зерна мертинита(?) и одно зерно садбериита(?), локализованных в агрегатах содержащих воду вторичных силикатов (эпидот и хлорит) или на границах этих минералов с сульфидами (пирротин и пентландит).

Размеры изученных 59 зерен МПГ из “тяжелых” концентратов лежат в интервале 9–63 мкм, в среднем 37 мкм. Зерна МПГ чаще мономинеральные (см. рис. 1а, 1г, 1ж), встречены также сростки сперрилита с пирротином, актинолитом (см. рис. 1б, 1в) и с халькопиритом, а садбериита с

пирротином (см. рис. 1д, 1е). Pd-содержащий маухерит, судя по встреченным зернам-сросткам его с другими минералами (с пирротином, халькопиритом, галенитом и хлоритом – см. рис. 1з, 1и), синхронен с МПГ, с рудообразующими сульфидаами и с богатыми летучими компонентами силикатами. При этом платина формирует в жильных Cu–Ni-рудах собственные минералы, тогда как у палладия преобладает его рассеянная форма – в виде твердого раствора в маухерите $Ni_{11}As_8$.

Этот вывод объясняет видимое противоречие данных о распределении ЭПГ в изученных рудах – преобладание Pd над Pt – и доминирование сперрилита среди выявленных в этих рудах минералов платиновой группы.

В заключение подчеркнем контрастные различия МПГ в разных типах руд Йоко-Довыренского массива. Жильные Cu–Ni-руды характери-

Таблица 2. Химический состав (мас. %) содержащих благородные металлы минералов брекчиевидных Cu–Ni-руд

№ ан.	Pt	Pd	Ni	Co	Fe	As	Sb	Bi	Au	Ag	Сумма
1	56.7	—	—	—	—	42.8	0.9	—	—	—	100.4
2	57.5	—	—	—	—	43.4	—	—	—	—	100.9
3	57.0	—	—	—	—	42.8	—	—	—	—	99.8
4	44.1	—	—	—	—	—	54.4	—	—	—	98.5
5	—	43.1	1.5	—	—	—	49.6	5.2	—	—	99.4
6	—	43.0	1.7	—	—	—	50.0	3.6	—	—	98.3
7	—	43.7	1.4	—	—	—	49.3	4.6	—	—	99.0
8	—	42.8	1.3	—	0.5	—	49.3	5.6	—	—	99.5
9	—	41.2	3.3	—	—	—	51.2	3.4	—	—	99.9
10	—	68.0	—	—	0.8	—	30.8	—	—	—	99.6
11	—	63.9	—	—	—	—	36.5	—	—	—	100.4
12	—	—	—	—	—	—	—	—	50.9	49.0	99.1
13*	—	0.125	49.3	1.7	1.2	46.7	—	—	—	—	99.025

Примечание. Ан. 1 – сперрилит $\text{Pt}_{1.00}(\text{As}_{1.97}\text{Sb}_{0.03})_{2.00}$; ан. 2 – сперрилит $\text{Pt}_{1.01}\text{As}_{1.99}$; ан. 3 – сперрилит $\text{Pt}_{1.01}\text{As}_{1.99}$; ан. 4 – геверсит $\text{Pt}_{1.01}\text{Sb}_{1.99}$; ан. 5 – садбериит $(\text{Pd}_{0.94}\text{Ni}_{0.06})_{1.00}(\text{Sb}_{0.94}\text{Bi}_{0.06})_{1.00}$; ан. 6 – садбериит $(\text{Pd}_{0.94}\text{Ni}_{0.07})_{1.01}(\text{Sb}_{0.95}\text{Bi}_{0.04})_{0.99}$; ан. 7 – садбериит $(\text{Pd}_{0.95}\text{Ni}_{0.06})_{1.01}(\text{Sb}_{0.94}\text{Bi}_{0.05})_{0.99}$; ан. 8 – садбериит $(\text{Pd}_{0.93}\text{Ni}_{0.05}\text{Fe}_{0.02})_{1.00}(\text{Sb}_{0.94}\text{Bi}_{0.06})_{1.00}$; ан. 9 – садбериит $(\text{Pd}_{0.88}\text{Ni}_{0.13})_{1.01}(\text{Sb}_{0.95}\text{Bi}_{0.04})_{0.99}$; ан. 10 – мертиит I $(\text{Pd}_{7.76}\text{Fe}_{0.18})_{7.94}\text{Sb}_{3.06}$; ан. 11 – без названия $\text{Pd}_{2.00}\text{Sb}_{1.00}$; ан. 12 – кюстелит (?) $(\text{Ag}_{0.64}\text{Au}_{0.36})_{1.00}$; ан. 13 – маухерит $(\text{Ni}_{10.53}\text{Co}_{0.36}\text{Fe}_{0.27}\text{Pd}_{0.015})_{11.175}\text{As}_{7.82}$.

* Средний из 6 анализов в 6 различных зернах.

зуются более ограниченным видовым составом МПГ: они представлены, главным образом, арсенидами (сперрилит) и стибнидами (садбериит, геверсит, мертиит II, минерал состава Pd_2Sb). В малосульфидном оруденении платиноносного горизонта, по нашим новым данным, количественно преобладают теллуриды Pt и Pd – мончейт $\text{Pt}(\text{Te},\text{Bi},\text{Pb})_2$, котульскит Pd ($\text{Te},\text{Bi},\text{Pb}$) – и интерметаллиды Pt и Pd – тетраферроплатина $\text{Pt}(\text{Fe},\text{Cu},\text{Ni})$, потарит PdHg , а также редкие здесь изоферроплатина $\text{Pt}_{3+x}(\text{Fe},\text{Ni},\text{Cu})$ и туламинит $\text{Pt}_2\text{Fe}(\text{Cu},\text{Ni})$. Арсениды – сперрилит PtAs_2 , атенеит $(\text{Pd},\text{Hg})_3\text{As}$ и маякит PdNiAs ; станинды – атокит $(\text{Pd},\text{Pt})_3\text{Sn}$, рустенбургит $(\text{Pt},\text{Pd})_3\text{Sn}$, таймырит $(\text{Pd},\text{Cu})_3\text{Sn}$, паоловит $(\text{Pd},\text{Pt})_2\text{Sn}$; плюмбиды – звягинцевит $\text{Pd}_3(\text{Pb},\text{Hg})$; стибниды – мертиит II $(\text{Pd},\text{Pt})_8(\text{Sb},\text{Te})_3$ и некоторые другие – имеют в этих рудах ограниченное развитие. Рассеянная форма палладия в малосульфидном типе руд – твердый раствор в пентландите (в среднем 360 г/т Pt). Минералы Au и Ag здесь тоже более многочисленны: преобладают самородное золото состава Au_3Ag и электрум AuAg , более редкие – кюстелит(?) (Ag,Au), тетрааурикуприд ($\text{Au},\text{Pd})\text{Cu}$ и некоторые другие.

Работа выполнена при финансовой поддержке РФФИ (проекты № 01–05–97257, 01–05–64252).

СПИСОК ЛИТЕРАТУРЫ

1. Трунева М.Ф., Качаровская Л.Н. // ДАН. 1985. Т. 280. № 1. С. 188–191.

2. Кривенко А.П., Лапухов А.С., Глотов А.И. и др. Геохимические ассоциации редких и радиоактивных элементов в рудных и магматических комплексах. Новосибирск, 1991. С. 110–132.
3. Дистлер В.В., Степин А.Г. // ДАН. 1993. Т. 328. № 4. С. 498–501.
4. Kislov E.V., Orsoev D.A. // IAGOD Newsletter. 1993. Р. 23.
5. Конников Э.Г., Кислов Е.В., Орсоев Д.А. // Геология руд. месторождений. 1994. Т. 36. № 6. С. 545–553.
6. Орсоев Д.А., Кислов Е.В., Конников Э.Г. и др. // ДАН. 1995. Т. 340. № 3. С. 225–228.
7. Качаровская Л.Н., Трунева М.Ф. Эндогенные процессы и оруденение в Забайкалье. Улан-Удэ, 1986. С. 120–123.
8. Неймарк Л.А., Немчин А.А., Амелин Ю.В. и др. XII Всесоюзн. симп. по стабильным изотопам в геохимии. Тез. докл. М., 1989. С. 323–324.
9. Кислов Е.В., Конников Э.Г., Порохов В.Ф. и др. // Геология и геофизика. 1989. № 9. С. 140–144.
10. Шишкин Н.Н. // Геол. руд. месторожд. 1964. № 1. С. 93–98.
11. Конников Э.Г., Качаровская Л.Н., Загузин Г.Н. и др. // Геология и геофизика. 1990. № 2. С. 59–66.
12. Barnes S.-J., Boyd R., Korneliussen A. et al. Geo-Platinum 87. L.: Elsevier, 1988. Р. 113–143.
13. Rudashevsky N., Kretser Yu., Rudashevsky V. European Union of Geosciences. EUG XI. Strasbourg. 2001. Р. 100.
14. Рудашевский Н.С., Лупал С.Д., Рудашевский В.Н. Пат. РФ № 216530. М., 2001.
15. Rudashevsky N.S., Rudashevsky V.N., Lupal S.D. Pat. Cooperation Treaty PCT, 2001.